

МНОГОФОНОННЫЕ ОПТИЧЕСКИЕ ПЕРЕХОДЫ В РАЗМЕРНО-ОГРАНИЧЕННЫХ СИСТЕМАХ В МАГНИТНОМ ПОЛЕ

Э. П. Синяевский*, Е. И. Гребенщикова

Институт прикладной физики академии наук Молдовы
277028, Кишинев, Молдова

Поступила в редакцию 31 марта 1999 г.

Исследованы оптические многофононные переходы в нелегированных размерно-ограниченных системах в магнитном поле, направленном параллельно оси пространственного квантования. Предложенная теория позволяет описать полуширину кривой люминесценции для одиночных квантовых ям, исследовать частотную и температурную зависимости коэффициента поглощения света в длинноволновой области спектра.

PACS: 78.66.-w

1. ВВЕДЕНИЕ

В продольном магнитном поле, направленном перпендикулярно поверхности квантовой ямы, спектр свободного электрона оказывается полностью квантованным (квазинульмерным) и для прямоугольных квантовых ям он определяется соотношением

$$E_{n\nu} = \hbar\omega_c \left(n + \frac{1}{2} \right) + \varepsilon_0\nu^2, \quad \varepsilon_0 = \frac{\hbar^2\pi^2}{2m_c a^2}.$$

Здесь ω_c — циклотронная частота, ε_0 — шаг размерного квантования в квантовой яме, m_c — эффективная масса электрона, a — ширина размерно-ограниченной системы, ν — номер размерно-квантованного уровня, n — номер уровня Ландау.

Возникновение дискретных уровней должно существенным образом влиять на оптические свойства квантовых ям. В настоящей работе проведено исследование оптических свойств собственных размерно-ограниченных систем в продольном магнитном поле с учетом многих фононов. Конечные результаты справедливы для квантовых ям различной формы (прямоугольные, параболические), а также для гетероструктур. Для описания многофононных оптических процессов в примесных системах используется модель смещенных адиабатических потенциалов [1]. Однако для исследования электронно-колебательных оптических переходов между дискретными состояниями, во-первых, свободных дырок (в отсутствие магнитного поля B — это валентная зона) и квазинульмерными состояниями, во-вторых, свободных электронов (при $B = 0$ — это зона проводимости) эта модель неприменима, поскольку минимумы адиабатических потенциалов для свободных носителей не смещены. Это связано с тем, что диагональные матричные элементы электрон-фононного взаимодействия (равно как и дыроч-

* E-mail: exciton@phys.asm.md

но-фононного взаимодействия) на волновых функциях свободных носителей экстенсивно малы. В этом случае описание оптических переходов с учетом многих фононов лучше проводить на языке квазиуровней [2], как это делается при изучении многофотонных зон-зонных переходов [3]. В дальнейшем рассмотрим сильные квантованные магнитные поля, когда кулоновское взаимодействие электрона с дыркой мало по сравнению с расстоянием между уровнями поперечного квантования. В этом случае внутреннее движение электрон-дырочной пары финитно, а свободного состояния электрона и дырки, строго говоря, не существует [4]. Как показывают экспериментальные исследования по фотолюминесценции в квантовых ямах, энергия связи экситона при $B > 10$ Тл в InGaAs/GaAs [5], в GaAs/AlGaAs [6] пропорциональна B и, следовательно, можно использовать указанное выше приближение. Подробное обсуждение и критерии такого приближения приведены в [7]. Будем в дальнейшем считать, что электрон и дырка взаимодействуют с фононами независимо, как это делается в теории экситонов большого радиуса [8]. При возбуждении пары электрон — дырка светом импульс экситона равен импульсу электромагнитной волны и очень мал [9], поэтому экситонными зонами, возникающими в квазидвумерных полупроводниках в сильном магнитном поле [4], будем пренебрегать.

Развитая ниже теория, позволяет в ряде случаев описать полуширину кривой люминесценции для одиночных квантовых ям, последовательно исследовать частотную и температурную зависимости коэффициента поглощения света в длинноволновой области спектра.

2. ПОСТАНОВКА ЗАДАЧИ. ОБЩИЕ СООТНОШЕНИЯ

В собственном размерно-ограниченном полупроводнике гамильтониан системы электронов и дырок, взаимодействующих с фононами, в однородном магнитном поле имеет вид

$$\hat{H} = \hat{H}_0 + \hat{V}, \quad (1)$$

$$\hat{H}_0 = \sum_{\beta} \left(\varepsilon_{\beta}^{(c)} - \xi \right) a_{\beta}^{+} a_{\beta} + \sum_{\beta} \left(\varepsilon_{\beta}^{(v)} - \xi_1 \right) \alpha_{\beta}^{+} \alpha_{\beta} + \sum_{\mathbf{q}} \hbar \omega_{\mathbf{q}} b_{\mathbf{q}}^{+} b_{\mathbf{q}}, \quad (2)$$

$$\hat{V} = \sum_{\mathbf{q}, \beta, \beta_1} C_{\mathbf{q}}^{(c)} I_{\beta\beta_1}(\mathbf{q}) (b_{\mathbf{q}} + b_{-\mathbf{q}}^{+}) a_{\beta}^{+} a_{\beta_1} + \sum_{\mathbf{q}, \beta, \beta_1} C_{\mathbf{q}}^{(v)} I_{\beta\beta_1}(\mathbf{q}) (b_{\mathbf{q}} + b_{-\mathbf{q}}^{+}) \alpha_{\beta}^{+} \alpha_{\beta_1}. \quad (3)$$

Здесь $\varepsilon_{\beta}^{(c)}$ ($\varepsilon_{\beta}^{(v)}$) — энергия электронов (дырок) в квантовой яме в продольном магнитном поле (см. Введение), ξ — химический потенциал электрона, $\xi_1 = -\xi + E_g$, E_g — ширина запрещенной зоны полупроводника; $\hbar \omega_{\mathbf{q}}$ — энергия фонона с волновым вектором \mathbf{q} ; a_{β}^{+} , a_{β} , α_{β}^{+} , α_{β} , $b_{\mathbf{q}}^{+}$, $b_{\mathbf{q}}$ — операторы рождения и уничтожения соответственно для электронов, дырок и фононов. $C_{\mathbf{q}}^{(c)}$ ($C_{\mathbf{q}}^{(v)}$) — коэффициентная функция, описывающая взаимодействие электрона (дырки) с колебаниями решетки, $I_{\beta\beta_1}(\mathbf{q}) = \langle \beta | \exp(i\mathbf{q}\mathbf{r}) | \beta_1 \rangle$ — матричный элемент оператора $\exp(i\mathbf{q}\mathbf{r})$ на волновых функциях $|\beta\rangle$ свободных носителей размерно-ограниченной системы в магнитном поле, $\beta = (n, \nu, K_x)$, K_x — компонента волнового вектора носителя, n — номер уровня Ландау, ν — номер размерно-квантованного уровня. При записи гамильтониана (1) не учитывались члены, связанные с

оператором неадиабатичности, так как безызлучательными переходами в дальнейшем пренебрегаем [3].

Коэффициент поглощения света частоты Ω , связанный с переходом электрона из полностью дискретного состояния (1) в квазиульмерное состояние (2), согласно формуле Кубо [10] определяется соотношением

$$K(\Omega) = \frac{4\pi e^2}{V n_0 c \hbar \Omega} \left| \frac{P_{cv} \xi_0}{m_0} \right|^2 \sum_{\beta\beta_1} \int_{-\infty}^{\infty} dt \exp(i\Omega t) \langle \alpha_{\beta}(t) a_{\beta}(t) \alpha_{\beta_1}^+(t) a_{\beta_1}^+(t) \rangle, \quad (4)$$

$$\hat{A}(t) = \exp\left(\frac{it}{\hbar} \hat{H}\right) \hat{A} \exp\left(-\frac{it}{\hbar} \hat{H}\right), \quad (5)$$

V — объем размерно-ограниченной системы, n_0 — показатель преломления, c — скорость света, P_{cv} — матричный элемент оператора импульса на блоховских функциях, m_0 — масса свободного электрона, ξ_0 — вектор поляризации электромагнитной волны, угловыми скобками обозначено усреднение по гамильтониану (1).

Уравнение движения для оператора $a_{\beta}(t)$ согласно (5) можно записать в виде

$$a_{\beta}(t) = -\frac{i}{\hbar} \left\{ \left(\varepsilon_{\beta}^{(c)} - \xi \right) a_{\beta}(t) + \sum_{q, \beta_1} C_q^{(c)} \langle \beta | \exp(iq\mathbf{r}) | \beta_1 \rangle \times \right. \\ \left. \times \left(b_q \exp(-i\omega_q t) + b_{-q}^+ \exp(i\omega_q t) a_{\beta_1}(t) \right) \right\}. \quad (6)$$

При записи (6) пренебрегалось влиянием носителей на фононный спектр, т. е. полагалось

$$b_q(t) \simeq b_q \exp(-i\omega_q t), \quad b_q^+(t) \simeq b_q^+ \exp(i\omega_q t).$$

Это приближение справедливо для невырожденных полупроводников, поскольку поправки, вносимые в спектр свободных фононов, определяются поляризационным оператором, который в нижнем порядке по электрон-фононному взаимодействию пропорционален концентрации заряженных частиц.

Для прямоугольных квантовых ям шириной a (магнитное поле направлено вдоль оси пространственного квантования)

$$\langle \beta | \exp(iq\mathbf{r}) | \beta_1 \rangle = i \frac{4\pi^2 \nu \nu_1 (q_z a)}{(q_z a)^2 - \pi^2 (\nu + \nu_1)^2} \frac{1}{(q_z a)^2 - \pi^2 (\nu - \nu_1)^2} \left[\frac{2^{n_1} n_1!}{2_{n_1} n_1!} \right]^{1/2} \times \\ \times \left[\exp(iq_z a) (-1)^{\nu + \nu_1} - 1 \right] \left[\exp \left\{ -\frac{1}{4} R^2 (q_x^2 + q_y^2) + i q_y (K_x + K_{x_1}) \frac{1}{2} R^2 \right\} \right] \times \\ \times \left[\frac{R}{2} (q_x - i q_y) \right]^{n - n_1} L_{n_1}^{n - n_1} \left(\frac{R^2}{2} (q_x^2 + q_y^2) \right) \delta_{K_x - K_{x_1}, q_x} \quad (n \geq n_1). \quad (7)$$

Здесь $R^2 = \hbar / m_c \omega_c$, $L_{n_1}^{n - n_1}(z)$ — присоединенные полиномы Лагерра.

$$V_{n\nu}(q) = i \frac{4\pi^2\nu^2}{(q_x a)^2 - (2\pi\nu)^2} \frac{\exp(iq_x a) - 1}{q_x a} \exp\left[-\frac{R^2}{4}(q_x^2 + q_y^2)\right] L_n\left[\frac{R^2}{2}(q_x^2 + q_y^2)\right],$$

$\hat{P}_x = -i\hbar\partial/\partial x$ — оператор импульса, $|K_x\rangle$ — волновая функция свободного электрона вдоль оси x .

Слагаемые с $n \neq n_1$, $\nu \neq \nu_1$ в (7), как будет показано ниже, вносят незначительный вклад в оптические многофоновые процессы. Подстановка (8) в (6) приводит к следующему уравнению движения для $a_{\beta}(t)$:

$$\dot{a}_{\beta}(t) = -\frac{i}{\hbar} \left\{ a_{\beta}(t) \left(\varepsilon_{\beta}^{(c)} - \xi \right) + \sum_{q, K_{x_1}} C_q^{(c)} V_{n\nu}(q) \langle K_x | \exp(i\hat{P}) | K_{x_1} \rangle \times \right. \\ \left. \times (b_q \exp(-i\omega_q t) + b_{-q}^+ \exp(i\omega_q t)) a_{n\nu K_{x_1}}(t) \right\}. \quad (9)$$

Решение уравнения (9) имеет вид

$$a_{n\nu K_x}(t) = \sum_{K_{x_1}} \langle K_x | \exp \frac{it\hat{H}_f}{\hbar} \exp \left(-\frac{it(\hat{H}_f + W_{n\nu}^{(c)})}{\hbar} \right) | K_{x_1} \rangle \times \\ \times \exp \left(-\frac{it}{\hbar} (\varepsilon_{n\nu K_x}^{(c)} - \xi) \right) a_{n\nu K_{x_1}}. \quad (10)$$

Здесь введены следующие обозначения:

$$\hat{H}_f = \sum_q \hbar\omega_q b_q^+ b_q, \quad W_{n\nu}^{(c)} = \sum_q C_q^{(c)} V_{n\nu}(q) \exp(i\hat{P})(b_q + b_{-q}^+), \\ \hat{P} = q_x x + \frac{1}{\hbar} q_y R^2 \hat{P}_x, \quad (11)$$

Аналогично можно вычислить $\alpha_{n\nu K_x}(t)$.

Если подставить значения $a_{n\nu K_x}$, $\alpha_{n\nu K_x}$ в (4) и учесть, что для невырожденных полупроводников

$$\langle a_{\beta}^+ a_{\beta} \rangle = n_{\beta}^{(c)} \ll 1, \quad \langle \alpha_{\beta}^+ \alpha_{\beta} \rangle = n_{\beta}^{(v)} \ll 1,$$

то коэффициент поглощения света принимает следующий вид:

$$K(\Omega) = \frac{4\pi e^2}{V c n_0 \hbar \Omega} \left| \frac{\mathbf{P}_{cv} \xi_0}{m_0} \right|^2 \sum_{n, \nu, K_x, K_{x_1}} \int_{-\infty}^{\infty} dt \exp \left\{ \frac{it}{\hbar} (\hbar\Omega - \varepsilon_{n\nu K_x}^{(c)} - \varepsilon_{n\nu K_x}^{(v)} - E_g) \right\} \times \\ \times \left\langle \langle K_x | \exp \left(\frac{it}{\hbar} H_f \right) \exp \left(-\frac{it}{\hbar} (H_f + W_{n\nu}^{(c)}) \right) | K_{x_1} \rangle \times \right. \\ \left. \times \langle K_x | \exp \left(\frac{it}{\hbar} H_f \right) \exp \left(-\frac{it}{\hbar} (H_f + W_{n\nu}^{(v)}) \right) | K_{x_1} \rangle \right\rangle_{\text{фон}}. \quad (12)$$

В (12) усреднение $\langle \dots \rangle_{\text{фон}}$ проводится по системе свободных фононов, так как влиянием взаимодействия носителей с колебаниями на фононный спектр пренебрегается. Усреднение в (12) можно провести обычными методами теории многофононных переходов [1] с использованием, например, алгебры бозе-операторов [11]. В результате для коэффициента поглощения света получаем выражение

$$K(\Omega) = \frac{2e^2}{acn_0 R^2 \Omega} \left| \frac{\mathbf{P}_{cv} \xi_0}{m_0} \right|^2 \sum_{n, \nu} \int_{-\infty}^{\infty} dt \exp\left(it\Omega - \frac{it}{\hbar} \varepsilon_{n\nu}\right) \exp(-g_{n\nu}(t)). \quad (13)$$

Здесь

$$g_{n\nu}(t) = \sum_q \frac{1}{(\hbar\omega_q)^2} (|C_q^{(c)}|^2 + |C_q^{(v)}|^2) |V_{n\nu}(q)|^2 \times \\ \times \{it\omega_q + (2N_q + 1) - (2N_q + 1) \cos(\omega_q t) - i \sin(\omega_q t)\}, \quad (14)$$

$$\varepsilon_{n\nu} = \hbar\omega_c^* \left(n + \frac{1}{2}\right) + \varepsilon_0^* \nu^2 + E_g, \quad \hbar\omega_c^* = \frac{\hbar e H}{\mu c}, \quad \varepsilon_0^* = \frac{\hbar^2 \pi^2}{2a^2 \mu}, \quad \frac{1}{\mu} = \frac{1}{m_c} + \frac{1}{m_v},$$

$N_q = [\exp(\hbar\omega_q/k_0 T) - 1]^{-1}$ — функция распределения равновесных фононов при температуре T .

Как непосредственно следует из (14), усреднение по системе свободных фононов для электронов и дырок проводится фактически независимо. Слагаемые типа $\sum_q C_q^{(v)} C_q^{(c)} |V_{n\nu}(q)|^2$ дают в коэффициент поглощения света экстенсивно малые поправки ($\sim 1/L_x$).

Спектральная интенсивность излучения простым образом связана с вероятностью перехода в единицу времени [12] и определяется соотношением

$$\Phi(\Omega) = \frac{2\Omega^2 e^2 n_0}{\pi \hbar V c^3} \left| \frac{\mathbf{P}_{cv} \xi_0}{m_0} \right|^2 \sum_{\beta\beta'} \int_{-\infty}^{\infty} dt \exp(-it\Omega) \langle a_{\beta}^+(t) \alpha_{\beta'}^+(t) a_{\beta'} \alpha_{\beta} \rangle. \quad (15)$$

Расчет среднего в (15) проводится так же, как и для коэффициента поглощения света. В результате получаем

$$\Phi(\Omega) = \frac{\Omega^2 e^2 n_0}{a \pi^2 c^3 \hbar R^2} \left| \frac{\mathbf{P}_{cv} \xi_0}{m_0} \right|^2 \sum_{n\nu} n_{n\nu}^{(c)} n_{n\nu}^{(v)} \times \\ \times \int_{-\infty}^{\infty} dt \exp(-it\Omega) \exp\left(\frac{it}{\hbar} \varepsilon_{n\nu}\right) \exp(-g_{n\nu}(t)), \quad (16)$$

$n_{n\nu}^{(c)} = \langle a_{\beta}^+ a_{\beta} \rangle$, $n_{n\nu}^{(v)} = \langle \alpha_{\beta}^+ \alpha_{\beta} \rangle$ — функции распределения соответственно для электронов и дырок. Для прямоугольных квантовых ям в пренебрежении поляронным эффектом

$$n_{n\nu}^{(c)} = \frac{n_e \text{sh}(\hbar\omega_c/2k_0 T) a 2\pi R^2}{\sum_{\nu} \exp(-\varepsilon_0 \nu^2/k_0 T)} \exp\left\{-\frac{1}{k_0 T} \left[\left(n + \frac{1}{2}\right) \hbar\omega_c + \varepsilon_0 \nu^2\right]\right\}, \quad (17)$$

n_e — концентрация электронов. Аналогичное выражение можно записать для $n_{n\nu}^{(v)}$.

3. ОБСУЖДЕНИЕ РЕЗУЛЬТАТОВ

Соотношения (13), (16) описывают процессы поглощения и излучения электромагнитной волны в собственных размерно-ограниченных системах в продольном магнитном поле с учетом многих фононов. При взаимодействии носителей с оптическими колебаниями частоты ω_0 (малой дисперсией пренебрегаем) (14) можно представить в виде

$$g_{n\nu}(t) = a_{n\nu} \{it\omega_0 + (2N + 1) \cos(\omega_0 t - \varphi)\}. \quad (18)$$

Здесь

$$a_{n\nu} = \sum_q [|C_q^{(c)}|^2 + |C_q^{(v)}|^2] \frac{|V_{n\nu}(q)|^2}{(\hbar\omega_0)^2}, \quad \text{tg } \varphi = \frac{i}{2N + 1}, \quad N = \frac{1}{\exp(\hbar\omega_0/k_0T) - 1}. \quad (19)$$

Рассмотрим область таких температур ($3\varepsilon_0^*/k_0T > 1$, $\hbar\omega_c/k_0T > 1$), когда электроны находятся в нижнем полностью дискретном состоянии (2) ($n = 0$, $\nu = 1$). Если воспользоваться соотношением [13]

$$\exp(z \cos \varphi) = \sum_{m=-\infty}^{\infty} I_m(z) \exp(im\varphi)$$

($I_m(z)$ — модифицированные функции Бесселя), то спектральная интенсивность излучения может быть записана следующим образом:

$$\begin{aligned} \Phi(\Omega) = & \frac{2\pi e^2 n_0 a R^2 \Omega^2}{c^3} n_e n_h \left| \frac{\mathbf{P}_{cv} \xi_0}{m_0} \right|^2 \exp[-a_{01}(2N + 1)] \times \\ & \times \sum_{m=-\infty}^{\infty} I_m(z) \left[\frac{1 + N}{N} \right]^{m/2} \delta\{\hbar\Omega - \tilde{\varepsilon}_g + m\hbar\omega_0\}, \end{aligned} \quad (20)$$

$$z = 2a_0 \sqrt{N(N + 1)}, \quad \tilde{\varepsilon}_g = E_g + \frac{1}{2}\hbar\omega_c^* + \varepsilon_0^* - \hbar\omega_0 a_{01},$$

n_h — концентрация дырок.

Как непосредственно следует из (20), при $z < 1$ частотная зависимость люминесценции определяется узкой δ -образной кривой ($m = 0$) и фоновыми сателлитами ($m \neq 0$), отстоящими друг от друга на расстояние $\hbar\omega_0$. При учете нестационарности электронных состояний линии люминесценции описываются лоренцевской кривой. Полуширина линий излучения, определяемая неупругим рассеянием на акустических колебаниях (однофононные переходы между уровнями Ландау), имеет вид

$$\gamma = \frac{(2\pi)^3 k_0 T E_c^2 m_c}{\rho w^2 \hbar^2 a} \left(\frac{w}{a\omega_c} \right)^5. \quad (21)$$

Здесь ρ — плотность полупроводниковой квантовой ямы, E_c — константа деформационного потенциала для электрона, w — скорость звука. Для типичных параметров квантовой ямы GaAs/AlGaAs ($\rho = 5.4$ г/см³, $w = 2 \cdot 10^5$ см/с, $E_c = 9$ эВ) при $T = 100$ К $a = 50$ Å, $\hbar\omega_c = 10^{-2}$ эВ имеем полуширину $\gamma \sim 6 \cdot 10^{-4}$ мэВ. Однако в сильных

магнитных полях полуширина Δ линии фотолюминесценции, как показывают экспериментальные исследования, достигает нескольких мэВ и ее форма аппроксимируется гауссовой кривой [6]. Например, в квазидвумерных системах InGaAs/GaAs $\Delta = 5$ мэВ ($B < 11.8$ Тл [5], InP/In_{0.53}Ga_{0.47}As $\Delta \leq 8$ мэВ ($B = 4$ Тл) [14], InAs/InAs_{0.09}Sb_{0.91} $\Delta \leq 7$ мэВ ($B = 7.6$ Тл) [15], GaAs/Al_xGa_{1-x}As $\Delta \approx 3$ мэВ ($B = 9$ Тл) [16].

При квазиклассическом описании колебаний кристаллической решетки $g_{\nu\nu}(t)$ можно разложить по аргументу до членов $\sim t^2$ включительно:

$$g_{\nu\nu}(t) \approx \frac{B_{\nu\nu} t^2}{2}, \quad B_{\nu\nu} = \sum_q \frac{1}{\hbar^2} [(C_q^{(c)})^2 + (C_q^{(v)})^2] |V_{\nu\nu}(q)|^2 (2N_q + 1). \quad (22)$$

Подстановка (22) в (16) ($n = 0, \nu = 1$) приводит к следующему выражению для спектральной интенсивности излучения:

$$\Phi(\Omega) = \frac{n_0 e^2 a R^2 \Omega^2}{c^3} n_e n_h \left| \frac{P_{cv} \xi_0}{m_0} \right| \sqrt{\frac{2\pi}{\Delta}} \exp \left\{ -\frac{(\hbar\Omega - E_g - \hbar\omega_c^*/2 - \varepsilon_0^*)^2}{2\Delta} \right\}, \quad (23)$$

$$\Delta = \hbar^2 B_{01}.$$

Согласно (23) частотная зависимость $\Phi(\Omega)$ описывается гауссовской кривой в максимуме, $\hbar\Omega_m = E_g + \hbar\omega_c^*/2 + \varepsilon_0^*$, и с полушириной

$$\delta\Omega = 2\sqrt{2\Delta \ln 2}. \quad (24)$$

Если частотная зависимость фотолюминесценции близка к гауссовской кривой, то положение максимума и полуширину можно вычислить, используя метод моментов [17], который, в частности, позволяет сформулировать критерий квазиклассического приближения.

При взаимодействии носителей с длинноволновыми акустическими колебаниями ($\omega_q = wq$) при $N_q \simeq k_0 T / \hbar\omega_q$ полуширина линии излучения согласно (24), (22) определяется соотношением

$$\delta\Omega = 2\sqrt{k_0 T a_0 \ln 2}, \quad a_0 = \frac{3(E_c^2 + E_v^2)}{\pi \rho w^2 R^2 a}, \quad (25)$$

E_v — константа деформационного потенциала для дырок.

Заметим, что «высокотемпературное» приближение при расчете (25) выполняется при $k_0 T \gg \hbar w / R\sqrt{6}$ (при $\hbar\omega_c \simeq 10^{-2}$ эВ, $T \gg 0.5$ К).

Для типичных параметров квантовых ям GaAs/Al_xGa_{1-x}As ($E_v = 7$ эВ) при $a = 50$ Å, $T = 10$ К, $B = 10$ Тл имеем $\delta\Omega \simeq 2$ мэВ, что по порядку величины соответствует экспериментальным исследованиям [16]. При взаимодействии носителей с оптическими бездисперсионными колебаниями частоты ω_0 параметр тепловыделения a_{01} согласно (19) определяется соотношением

$$a_{10} = \tilde{a}_0 I(\xi_0), \quad (26)$$

$$\tilde{a}_0 = \frac{e^2 c_0}{a \hbar \omega_0}, \quad I(\tilde{\xi}) = \int_0^\infty d\tau \exp(-\tau) \left\{ \frac{1}{2(\tau + \tilde{\xi} 4\pi^2)} + \frac{1}{\tau} - \frac{(\tilde{\xi} 4\pi^2)^2}{\tau(\tau + 4\pi^2 \tilde{\xi})^2} \times \right. \\ \left. \times \sqrt{\frac{\tilde{\xi}}{\tau}} \left[1 - \exp\left(-\sqrt{\frac{\tau}{\tilde{\xi}}}\right) \right] \right\}, \quad \tilde{\xi} = \left(\frac{R}{a}\right)^2, \quad c_0 = \frac{1}{\epsilon_0} - \frac{1}{\epsilon_\infty},$$

$\tilde{\epsilon}_0, \epsilon_\infty$ — значения соответственно низкочастотных и высокочастотных диэлектрических постоянных.

На рисунке приведена зависимость a_{10}/\tilde{a}_0 от $\tilde{\xi}$.

Параметр z , входящий в аргумент функции Бесселя в соотношении (20), определяет интенсивность бесфононной линии собственной люминесценции ($m = 0$), а также фононных сателлитов ($m \neq 0$). При высоких температурах $T \approx 190$ К ($N = 1$), $\tilde{\xi} = 1$, $\hbar\omega_0 = 20$ мэВ, $a = 50$ Å параметр z для различных квантовых ям меняется в достаточно широких пределах. Параметр $z = 0.3$ для квантовых ям GaAs/AlGaAs, $z = 0.34$ для InP/InPAs, $z = 1.8$ для GaN/AlGaN. Следовательно, в квазидвумерных системах с $z < 1$ должны наблюдаться линии люминесценции, отстоящие друг от друга на расстояние $\hbar\omega_0$, полуширина которых, если учесть взаимодействие носителей с акустическими колебаниями, определяется (25), а форма линии описывается гауссовской кривой. Если выполняется критерий «сильного тепловыделения» [17], $a_{01} \text{th}(\hbar\omega_0/2k_0T) \gg 1$ ($z > 1$), то линия люминесценции описывается гауссовской кривой с полушириной

$$\delta\Omega = 2\hbar\omega_0 \sqrt{2a_{01} \text{th}(\hbar\omega_0/2k_0T) \ln 2}. \tag{27}$$

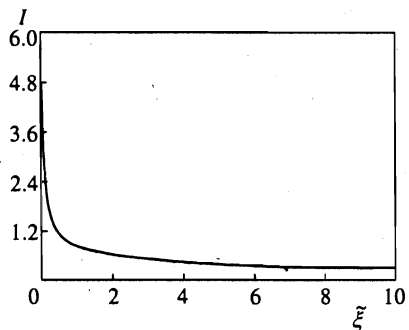
Например, для квантовой ямы GaN/AlGaN при высоких температурах ($T = 200$ К), $\tilde{\xi} = 1$, $\hbar\omega_0 = 0.05$ эВ имеем $\delta\Omega = 100$ мэВ.

Коэффициент поглощения света, определяемый соотношением (13), с учетом взаимодействия носителей с оптическими фононами можно представить в виде

$$K(\Omega) = K_0 \sum_{n,\nu,p} I_p(z) \left(\frac{N}{N+1}\right)^{p/2} \exp[-a_{n\nu}(2N+1)] \delta\{\hbar\Omega - \epsilon_{n\nu} + a_{n\nu}\hbar\omega_0 + p\hbar\omega_0\}, \tag{28}$$

$$K_0 = \frac{4\pi e^2}{an_0 c \Omega R^2} \left| \frac{\mathbf{P}_{cv} \boldsymbol{\xi}_0}{m_0} \right|^2.$$

Если учесть взаимодействие носителей с длинноволновыми акустическими колебаниями, то $K(\Omega)$ описывается системой эквидистантных гауссовских кривых, положение



Зависимость нормированного параметра тепловыделения I от $\tilde{\xi}$

максимумов которых соответствует частотам $\Omega = \Omega_0 - p\omega_0$:

$$K(\Omega) = K_0 \sqrt{\frac{1}{2\pi\Delta}} \sum_p \left(\frac{N}{N+1} \right)^{p/2} I_p(z) \exp \left\{ -\frac{(\hbar\Omega - \hbar\Omega_0 + p\hbar\omega_0)^2}{2\Delta} \right\}. \quad (29)$$

Здесь $\hbar\Omega_0 = E_g + \hbar\omega_c^*/2 + \varepsilon_0^* - \hbar\omega_0 a_{01}$.

Исследуем поведение $K(\Omega)$ при $p = (\Omega_0 - \Omega)/\omega_0 \gg 1$, т.е. в длинноволновой области поглощения. Следуя работе [18], можно показать, что при фиксированном значении p коэффициент поглощения света определяется соотношением

$$K(\Omega) \simeq K_0 \frac{1}{\sqrt{2\pi\Delta}} \exp \left\{ -\frac{\hbar(\Omega - \Omega_0)}{k_0 T} \sigma \right\}, \quad (30)$$

$$\sigma = 1 + \ln \left(\frac{\Omega - \Omega_0}{e_0 \omega_0 a_{01} (N+1)} \right), \quad e_0 = 2.7182.$$

Следовательно, в длинноволновой области $K(\Omega)$ описывается правилом Урбаха. Параметр σ с ростом ширины квантовой ямы увеличивается и слабо зависит от напряженности магнитного поля (при $\xi > 1$) и частоты поглощаемого света. Например, для квантовой ямы GaN/AlGaN при $T = 190$ К, $p = 5$ имеем $\sigma = 1.87$. Как показано в [18], соотношение (30) имеет место как при $z > 1$, так и при $z \ll 1$, т.е. в области низких температур.

При расчете оптических многофононных процессов использовалось диагональное приближение по квантовым числам n, ν (см. соотношение (8)). Именно это приближение позволило провести усреднение по фононной подсистеме точно. Если $n \neq n_1, \nu \neq \nu_1$, то усреднение в (12) можно провести приближенно, воспользовавшись кумулянтным разложением [19], и ограничиться второй кумулянтной. Это приближение в теории магнитооптических эффектов, как показывают исследования [20], соответствует на языке диаграммной техники Константинова и Переля суммированию графиков без пересечения фононных линий [21] и обычному расщеплению цепочки для функций Грина [22]. Как показывают расчеты, вклад слагаемых $n \neq n_1, \nu \neq \nu_1$ в параметр тепловыделения (19) как для оптических, так и для акустических колебаний при $\xi > 1$ составляет менее 10%. Следовательно, диагональное приближение оказывается вполне разумным в области больших магнитных полей для исследования эффектов электронно-колебательного взаимодействия в оптических спектрах в размерно-ограниченных системах.

Литература

1. Ю. Е. Перлин, УФН **80**, 553 (1963).
2. Я. Б. Зельдович, ЖЭТФ **51**, 1492 (1966).
3. В. А. Коварский, *Многоквантовые переходы*, Изд. Штиинца, Кишинев (1974).
4. И. В. Лернер, Ю. Е. Лозовик, ЖЭТФ **78**, 1167 (1980).
5. Н. Q. Hou, W. Stagnun, N. Miura, Y. Segawa, S. Takeyama, Y. Aoyagi, and J. M. Zhou, Sol. State Commun. **74**, 687 (1990).
6. L. V. Butov, A. Zrenner, M. Shayegan et al., Phys. Rev. B **49**, 14054 (1994).

7. W. Edelman, H. N. Spector, and R. Marasas, Phys. Rev. B **39**, 7697 (1989).
8. Р. Нокс, *Теория экситонов*, Мир, Москва (1966).
9. R. J. Elliot and R. London, J. Phys. Chem. Solids **15**, 196 (1960).
10. R. Kubo, J. Phys. Soc. Jap. **12**, 570 (1957) (в сб.: *Термодинамика необратимых процессов*, ИЛЛ, Москва (1962), с. 345).
11. У. Люиселл, *Излучение и шумы в квантовой электронике*, Наука, Москва (1972).
12. А. П. Леванюк, В. В. Осипов, УФН **133**, 427 (1981).
13. И. С. Градштейн, И. М. Рыжик, *Таблицы интегралов, сумм, рядов и произведений*, Наука, Москва (1971).
14. Q. X. Zhao, P. O. Holtz, B. Monemar et al., Phys. Rev. B **47**, 11890 (1993).
15. S. R. Kurtz and R. M. Biefeld, Appl. Phys. Lett. **66**, 364 (1995).
16. H. Buhman, W. Joss, K. v. Klitzing et al., Phys. Rev. Lett. **66**, 926 (1991).
17. Ю. Е. Перлин, Б. С. Цукерблат, *Эффекты электронно-колебательного взаимодействия в оптических спектрах примесных парамагнитных ионов*, Изд. Штиинца, Кишинев (1974).
18. А. С. Давыдов, А. Ф. Лубченко, ДАН СССР **179**, 1301 (1968).
19. R. Kubo, J. Phys. Soc. Jap. **17**, 1100 (1962).
20. Э. П. Синявский, *Кинетические эффекты в электрон-фононных системах в поле лазерного излучения*, Изд. Штиинца, Кишинев (1976).
21. Л. И. Коровин, Е. В. Харитонов, ФТТ **7**, 2162 (1965).
22. G. Giobanu and L. Banyani, Phys. Stat. Sol. **3**, 2299 (1963).